

О.С. Лебедь, Н.В. Панасюк, Н.В. Куцик-Савченко, А.В. Просяник

КВАНТОВО-ХИМИЧЕСКОЕ ИЗУЧЕНИЕ АМИДИРОВАНИЯ ПРОИЗВОДНЫХ 1-АМИНОЭТИЛЕН-1,2-ДИКАРБОНОВОЙ КИСЛОТЫ

ГВУЗ «Украинский государственный химико-технологический университет», г. Днепр

Взаимодействие производных аминоэтилен-1,2-дикарбоновой кислоты с аминами критическим образом зависит от строения енаминов и условий его проведения: в абсолютированном метаноле аминофумарат образует амиды Z-2-амино-3-метоксикарбонилакриловой кислоты, в присутствии MeONa – диамиды аминофумаровой кислоты; N-алкиламинофумараты и N-*трет*-бутиламиноалеат, независимо от условий реакции – 1,3-диалкиламинопиррол-2,5-дионы, тогда как N,N-диалкиламиноалеаты инертны в данных реакциях. Амиды Z-2-амино-3-метоксикарбонилакриловой кислоты в абсолютированном MeOH в присутствии MeONa образуют диамиды, тогда как в водном MeOH – 1,3-диалкиламинопиррол-2,5-дионы. Для объяснения наблюдающихся экспериментальных закономерностей проведено квантово-химическое изучение реакций амидирования в приближении PBE/def2-TZVPP с анализом полученных волновых функций в рамках NBO. Амидирование дезактивированной β -сложноэфирной группы теоретически может быть достигнуто в результате повышения энергии неподеленной электронной пары (НЭП) нуклеофила в результате депротонирования и/или снижения энергии разрыхляющей молекулярной орбитали $\pi_{\beta-C=O}^*$ из-за нарушения сопряжения с аминогруппой. Обсуждены возможные механизмы амидирования эфиров Z-2-амино-3-карбоксиакриловой кислоты в условиях основного катализа путем генерации алкиламид-анионов или промежуточного образования эфиров иминояントарной, 2-амино-2-метиламинояントарной и 2-амино-2-метоксиантарной кислот. На основании анализа экспериментальных и расчетных данных предложен механизм амидирования амидов Z-2-амино-3-метоксикарбонилакриловой кислоты через промежуточное образование амидов 2-амино-2-метокси-3-метоксикарбонилпропионовой кислоты. Исключительное образование из гем-метоксиаминов диамидов аминофумаровой кислоты объяснено совместным влиянием статистического и кинетического факторов. Инертность N,N-диметиламиноалеата, вероятно, обусловлена невозможностью промежуточного образования эфира 2-(N,N-диметиламино)-2-метоксиантарной кислоты из-за экранирования α -атома углерода объемными Me_2N^- и MeO_2C -группами.

Ключевые слова: аминофумарат, амидирование, гем-диамины, гем-метоксиамины, имины, диамиды Z-2-амино-3-метоксикарбонилакриловой кислоты.

Введение

Реакция производных аминоэтилен-1,2-дикарбоновой кислоты с аминами критическим образом зависит от строения енаминов и условий ее проведения. Аминофумараты при взаимодействии с первичными алифатическими аминами в абсолютированных растворителях (C_6H_6 , Et_2O , $MeOH$), с аммиаком или *трет*-бутиламином в водном $MeOH$ образуют соответствующие амиды Z-2-амино-3-метоксикарбонилакриловой кислоты, в абсолютированном $MeOH$ в присутствии $MeONa$ – диамиды аминофумаровой кислоты; N-алкиламинофумараты

и N-*трет*-бутиламиноалеат, независимо от условий реакции – 1,3-диалкиламинопиррол-2,5-дионы, тогда как N,N-диалкиламиноалеаты инертны в данных реакциях [1]. Амиды Z-2-амино-3-метоксикарбонилакриловой кислоты в абсолютированном $MeOH$ при основном катализе ($MeONa$) образуют диамиды, тогда как в водном $MeOH$ – 1,3-диалкиламинопиррол-2,5-дионы. 3-Пропил-2-аминофумарат в реакции с аммиаком в водном $MeOH$ образует 3-амино-4-пропилпиррол-2,5-дион, а при взаимодействии с первичными аминами – 1-алкил-3-амино-4-пропилпиррол-2,5-дионы [2].

Методика расчета

С целью объяснения наблюдающихся экспериментальных закономерностей нами проведено квантово-химическое изучение реакций амидирования в приближении PBE/def2-TZVPP с анализом полученных волновых функций в рамках NBO [3]. При обращении к расчетам мы понимали, что полученные данные будут соответствовать нахождению рассматриваемых молекул в газовой фазе или в лучшем случае – в неполярном аprotонном растворителе. В действительности же практически все реакции проводились в полярных протонных растворителях – абсолютном или водном метаноле, обладающих специфическим сольватирующим действием. Все же, на наш взгляд, использование расчетных данных в достаточной степени является достоверным и полезным для анализа за счет сравнимого влияния сольватации на свойства рассматриваемых родственных соединений – производных аминоэтилен-1,2-дикарбоновой кислоты.

Результаты и их обсуждение

Известно, что наблюдающаяся региоспецифичность амидирования диметиловых эфиров амино- и N-алкиламинофумаровых кислот по α -MeO₂C-группе обусловлена орбитальным контролем – меньшей энергией π^* -разрыхляющей MO α -карбонильной группы ($E_{\pi^*\alpha C=O}$ – 135,5 – 101,6 кДж/моль) по сравнению с β -карбонильной ($E_{\pi^*\beta C=O}$ – 86,1 – 41,7 кДж/моль) [1]. Вероятно, энергия $\pi^*_{C=O}$ -МО, составляющая примерно –90 кДж/моль, является верхним пределом реакционной способности сложноэфирных групп к амидированию алифатическими аминами. Инертность N,N-диалкиламиномалеатов в реакции амидирования, возможно, обусловлена тем же фактором. В то же время остаются невыясненными причины наблюдаемого в условиях основного катализа (MeOH/MeONa) амидирования аминофумаратов по обеим MeO₂C-группам и амидов Z-2-амино-3-алоксикарбонилакриловой кислоты по β -MeO₂C-группе.

Орбитальный контроль реакции амидирования, прежде всего, зависит от разности энергий между взаимодействующими орбитальными – неподеленной электронной парой (НЭП) атома азота амина (nN) и разрыхляющей орбитали карбонильной группы ($\pi^*_{C=O}$); уменьшение разности энергий должно благоприятствовать протеканию реакции. Этому способствует увеличение

энергии НЭП атома N и/или снижение энергии соответствующей $\pi^*_{C=O}$ -МО.

Повышение энергии НЭП атома N может быть обусловлено генерированием в условиях реакции высокореакционноспособных амид-анионов RNH⁻, образование которых предполагается даже в растворе аминов в метаноле и, тем более, в присутствии алкоголят-анионов [4]. В случае образования амид-анионов, обладающих значительно большей энергией НЭП атома N по сравнению с аммиаком или алкиламиналами, амино- и N-алкиламинофумараты, а также N,N-диметиламиномалеат, должны амидироваться по обеим MeO₂C-группам. Однако, на наш взгляд, образование этих анионов является маловероятным из-за значительно более высокой кислотности метанола по сравнению с аммиаком (значения pK_a составляют 16,0 и 38,0, соответственно [5]); константа равновесия (K_p) переноса протона должна составлять $10^{-22,8}$, а изменение энергии Гельмгольца (ΔF), рассчитанное по [6], – 131,7 кДж/моль. Несомненно, величины K_p и ΔF достаточно условны, но положительное значение ΔF не вызывает сомнений и, соответственно, образование амид-анионов не может быть термодинамически разрешенным процессом [6].

Действительно, образование при основном катализе в реакции аминофумарата I с первичными аминами исключительноmonoамидов Z-2-амино-3-метоксикарбонилакриловой кислоты IIa-c и лишь через 2 сут – диамидов IIIa-c (схема 1), как и инертность в этих условиях N,N-диметиламиномалеата, отрицают, по крайней мере, доминирующую роль алкиламид-анионов в реакции амидирования.

Амидирование по β -MeO₂C-группе в аминофумарате и соответствующих monoамидах также может быть достигнуто снижением энергии $\pi^*_{\beta-C=O}$ -МО в результате нарушения её сопряжения с аминогруппой.

Повышение реакционной способности β -MeO₂C-группы может быть обусловлено катализируемой основаниями енамин-иминной тautomerизацией, облегчающейся в полярных протонных растворителях (схема 2). В соответствии со значениями pK_α для метиламина (10,66 [5], $10,66 \pm 0,20$ (расчитано по [7])) и аминофумарата I ($3,05 \pm 0,20$ [7]), метиламин должен катализировать процесс тautomerизации.

Данные квантово-химических расчетов

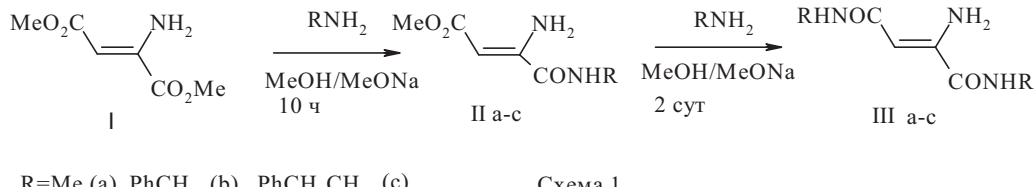


Схема 1

Таблица 1

Данные квантово-химических расчетов предпочтительных конформеров соединений I, IIa, IV–IX

Таутомеры производных аминофумаровой кислоты	$E_{\text{вн}}$ таутомера ¹ , ат. ед.	$\Delta E_{\text{таут}}^2$, кДж/моль	K_p^3	Энергии орбиталей, кДж/моль	
				$\pi^*_{\alpha \text{C=O}}$	$\pi^*_{\beta \text{C=O}}$
I	-589,30895 ⁴ -589,28422 ⁵	-64,93	$4,21 \cdot 10^{-10}$	-135,5 ⁴ -125,4 ⁵	-83,5 ⁴ -108,7 ⁵
V	-628,56416 ⁴ -628,54428 ⁵	-52,19	$7,18 \cdot 10^{-10}$	-114,7 ⁴ -91,4 ⁵	-81,1 ⁴ -103,6 ⁵
VII	-530,18498 ⁴ -530,16664 ⁵	-48,1	$3,68 \cdot 10^{-9}$	-79,8 ⁴ -78,3 ⁵	-84,8 ⁴ -120,0 ⁵
IIa	-569,44927 ⁴ -569,43132 ⁵	-47,13	$5,48 \cdot 10^{-9}$	-70,4 ⁴ -66,1 ⁵	-78,9 ⁴ -119,6 ⁵
IV					
VI					
VIII					
IX					

Примечание: ¹ – внутренняя энергия таутомера; ² – разность внутренних энергий таутомеров; ³ – константа равновесия из уравнения Гиббса [6] при температуре 298,15 К; ⁴ – енамин, ⁵ – имин.

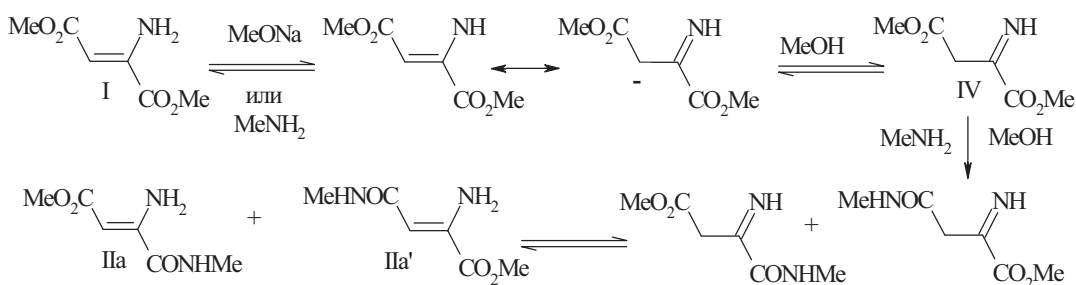


Схема 2

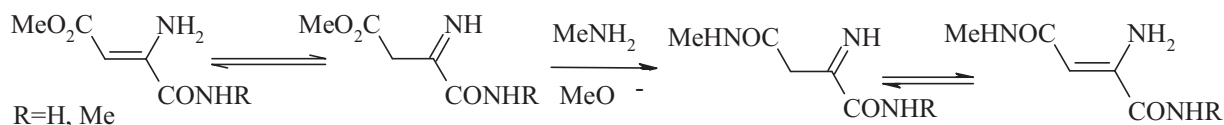


Схема 3

(табл. 1) обнаруживают, что, исходя из значений энергий $\pi^*_{\beta-\text{C=O}}$ -МО таутомерные диметиловые эфиры иминоянтарной (IV) и метилиминоянтарной кислот (VI) и, особенно, а-моноамиды на их основе (VIII, IX) (табл. 1) должны амидироваться по β -MeO₂C-группам. Однако имины IV, VI, VIII, IX обладают значительно большей внутренней энергией по сравнению с соответствующими енаминами I, V, VII, IIa ($\Delta E_{\text{таут}}$, табл. 2) и их равновесное содержание не должно оказывать существенного влияния на региоселективность реакции амидирования. Кроме того, гипотетические имины IV, VI (схема 2) и VIII, IX (схема 3) из-за низких энергий $\pi^*_{\beta-\text{C=O}}$ -МО (меньше -90 кДж/моль) должны амидироваться по β -MeO₂C-группам и в отсутствие MeONa.

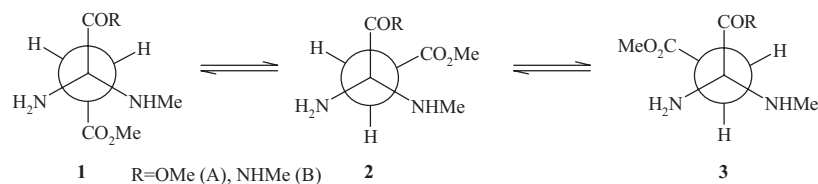
Однако аминофумараты в реакциях с ами-

нами в абсолютированном MeOH образуют лишь амиды Z-2-амино-3-метоксикарбонилакриловой кислоты. В этом случае отсутствие продуктов бис-амидирования, несмотря на увеличение концентрации амина, продолжительности и температуры реакции, указывает, что предполагаемая енамин-иминная таутомерия не оказывает заметного влияния на процесс амидирования.

Повышение реакционной способности β -MeO₂C-группы также может быть достигнуто в результате образования промежуточных гемдиаминов при нуклеофильном присоединении аминов к аминофумарату I или кmonoамиду IIa (схема 4, A и B, соответственно). Известно, что гем-диариламиномалонаты и 3,3-бис(ариламино)пентандионы-2,4 относительно стабильны [8], тогда как гем-диамины с σ -электронодонорными заместителями у атома углерода – тер-

Таблица 2

Данные квантово-химических расчетов конформеров¹ производных 2-амино-2-метиламиноянттарной кислоты А–С, образующихся при вращении вокруг связи С2–С3 и обладающих наименьшей внутренней энергией



Конформер	$E_{\text{вн}}$, ат. ед.	$\Delta E_{\text{конф}}^2$, кДж/моль	Энергия орбитали, кДж/моль		Энергия взаимодействия, кДж/моль	
			$\pi^*_{\alpha \text{C=O}}$	$\pi^*_{\beta \text{C=O}}$	$nN_{\text{NH}_2} \rightarrow \sigma^*_{\text{C-NHMe}}$	${}^4nN_{\text{MeNH}} \rightarrow \sigma^*_{\text{C-NH}_2}$
A1	-685,0733	0	-93,0	-108,9	50,7	48,5
A2	-685,0647	22,5	-63,2	-80,8	48,6	50,1
A3	-685,0695	9,9	-78,1	-67,1	43,3	48,0
B1	-665,2196	0	-29,7	-85,5	32,3	14,3
B2	-665,2157	10,1	-46,6	-114,0	51,7	47,4
B3	-665,2185	2,9	-13,1	-98,7	19,6	14,0
C1	-665,2123	0	-120,2	-18,6	56,0	2,1
C2	-665,2120	0,8	-111,9	1,2	49,1	45,5
C3	-665,2122	0,2	-110,5	-8,8	44,4	48,2

Примечание: ¹ – приведены данные для наиболее выгодных из возможных конформеров, отличающихся взаимным расположением конформационно лабильных групп и внутримолекулярных водородных связей; ² – разность внутренних энергий конформеров по отношению к наиболее выгодному.

мически неустойчивы [9]. Соответственно, образование относительно стабильных *гем*-диаминов А и В должно быть достаточно вероятным.

Данные квантово-химических расчетов конформеров *гем*-диаминов А–С (табл. 2) обнаруживают, что конформеры А1, В2 и В3 действительно обладают реакционноспособными β -MeO₂C-группами. Однако экспериментальные данные не согласуются с их промежуточным образованием.

Во-первых, в соответствии с расчетными данными (табл. 2) амидирование *гем*-диамина А должно преимущественно происходить по более реакционноспособной β -MeO₂C-группе. Однако при амидировании аминофумарата I в

отсутствие MeONa образуются исключительно амиды Z-2-амино-3-метоксикарбонилакриловых кислоты Па-с.

Во-вторых, при дезаминировании термодинамически лабильных *гем*-диаминов А и В из-за приблизительно равных энергий взаимодействия $nN_{\text{MeNH}} \rightarrow \sigma^*_{\text{C-NH}_2}$ и $nN_{\text{NH}_2} \rightarrow \sigma^*_{\text{C-NHMe}}$ (табл. 2) должен наблюдаться практически равновероятный выброс амиака или метиламина с образованием соответствующих производных амино-(Па, II', IIIа) и N-метиламинофумаратов (II'', II''', III'). Однако ни в одной реакции амидирования аминофумаратов первичными аминами не наблюдалось замещение аминогруппы алкиламиногруппой [10].

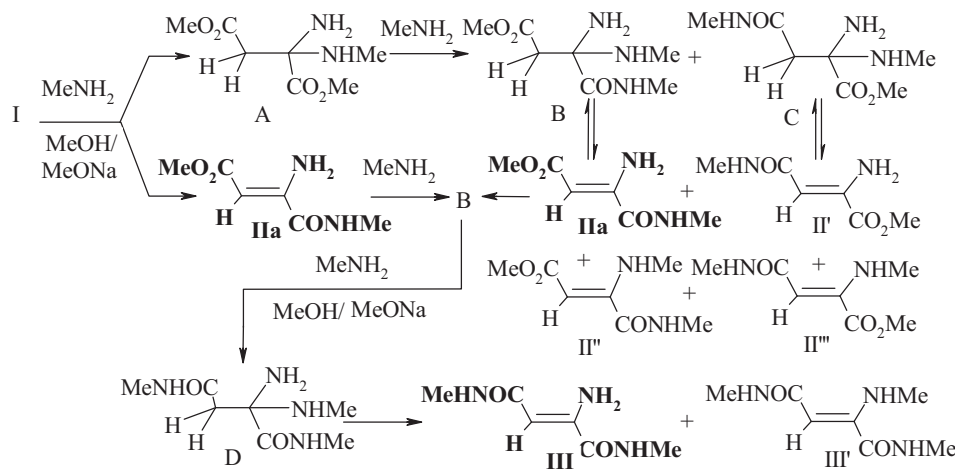


Схема 4

Поскольку амид Z-3-амино-3-метоксикарбонилакриловой кислоты не обнаружен в продуктах реакции, образование *гем*-диамина С невозможно. Однако следует отметить, что при разложении этого *гем*-диамина, в отличие от реакций переаминирования первичными аминами 1-алкил-3-аминопиррол-2,5-дионов [11], доминирующим процессом было бы отщепление метиламина. Этот факт, по видимому, обусловлен свободным вращением вокруг связи C2—C3, приводящим из-за стерических затруднений к предпочтительному образованию конформеров, препятствующих реализации взаимодействия $nN_{MeNH} \rightarrow \sigma^*_{C-NH_2}$.

Наиболее вероятно, что бис-амидирование осуществляется по схеме 5 с промежуточным образованием *гем*-метоксиаминов типа F, что хорошо согласуется с экспериментальными и расчетными данными:

— в растворе MeONa в абсолютированном MeOH присутствует значительное количество метилат-анионов, способствующих образованию соответствующих *гем*-метоксиаминов;

— α -MeO₂C-группа обладает наибольшей реакционноспособностью как в аминофумарate, так и в энергетически предпочтительном конформере E1 (табл. 3); при амидировании преимущественно (или исключительно) должны образовыватьсяmonoамид IIa и/или *гем*-метоксиамин F и, в конечном итоге, N-метиламид 2-амино-3-метоксикарбонилакриловой кислоты IIa. Соответственно, промежуточное образование *гем*-метоксиамина E не противоречит наблюдаемой региоспецифичности мо-

ноамидирования аминофумаратов в условиях основного катализа;

— в конформере F2 β -MeO₂C-группа не дезактивирована (табл. 3) и способна амидироваться с образованием соответствующего *гем*-метоксиамина H (схема 5);

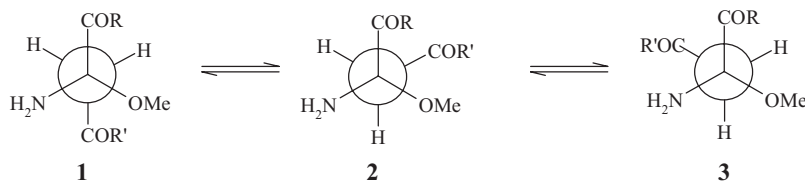
— при разложении промежуточных *гем*-метоксиаминов F—H невозможно образование производных метоксиэтилендикарбоновой кислоты, так как при этом должен выбрасываться худший нуклеофуг — амид-анион. Предпочтительность выброса метилат-аниона согласуется с большей эффективностью взаимодействия $nN_{NH_2} \rightarrow \sigma^*_{C-O_Me}$ (~ 34 – 42 кДж/моль) по сравнению с $nO \rightarrow \sigma^*_{C-NH_2}$ (~ 7 – 29 кДж/моль) (табл. 3) и соответствует экспериментальным данным — диэфиры метоксималеиновой и метоксифумаровой кислот в реакции с аммиаком или первичными алифатическими аминами образуют соответствующие амино- или N-алкиламинофумараты [12]. Мы предполагаем, что и другие реакции осуществляются через промежуточное образование соответствующих *гем*-алк(арил)оксиаминов;

— инертность N,N-диметиламиномалеата в условиях рассматриваемой реакции амидирования, очевидно, обусловлена невозможностью промежуточного образования диметилового эфира 2-(N,N-диметиламино)-2-метоксиянтарной кислоты из-за экранирования β -атома углерода объемными Me₂N- и MeO₂C-группами.

При постулировании промежуточного образования *гем*-метоксиамина — соединения с одинарной C—C связью между атомами углеро-

Таблица 3

Данные квантово-химических расчетов заторможенных конформеров производных 2-амино-2-метоксиянтарной кислоты E-G



R, R' = OMe (E), R = NHMe, R' = OMe (F), R, R' = NH₂ (H)

Конформер	E_{bh} , ат. ед.	$\Delta E_{конф.}$, кДж/моль	η , %	Энергия орбиталей, кДж/моль			Энергия взаимодействия, кДж/моль		
				$\pi^*_{\alpha}C=O$	$\pi^*_{\beta}C=O$	$n_pOCH_3 \rightarrow \sigma^*_{C-NH_2}$	$n_yOCH_3 \rightarrow \sigma^*_{C-NH_2}$	$nN_{NH_2} \rightarrow \sigma^*_{C-O_Me}$	
E1	-704,9391	0	81,73	-118,3	-84,8	11,4	25,7	34,3	
E2	-704,9356	9,2	2,00	-85,4	-85,0	11,3	29,2	23,1	
E3	-704,9376	4,0	16,27	-103,2	-108,8	10,8	27,7	39,3	
F1	-685,0845	0	72,5	8,8	-83,8	11,7	20,7	35,5	
F2	-685,0836	2,7	24,1	-48,5	-108,3	9,6	27,0	42,4	
F3	-685,0816	7,6	3,4	-30,0	-91,8	11,3	23,0	37,0	
H1	-586,6958	0	83,84	4,1	8,5	11,6	20,4	39,8	
H2	-586,6935	5,8	8,08	-91,8	-69,3	7,3	26,8	40,5	
H3	-586,6936	5,8	8,08	-44,8	-30,0	11,0	22,5	39,7	

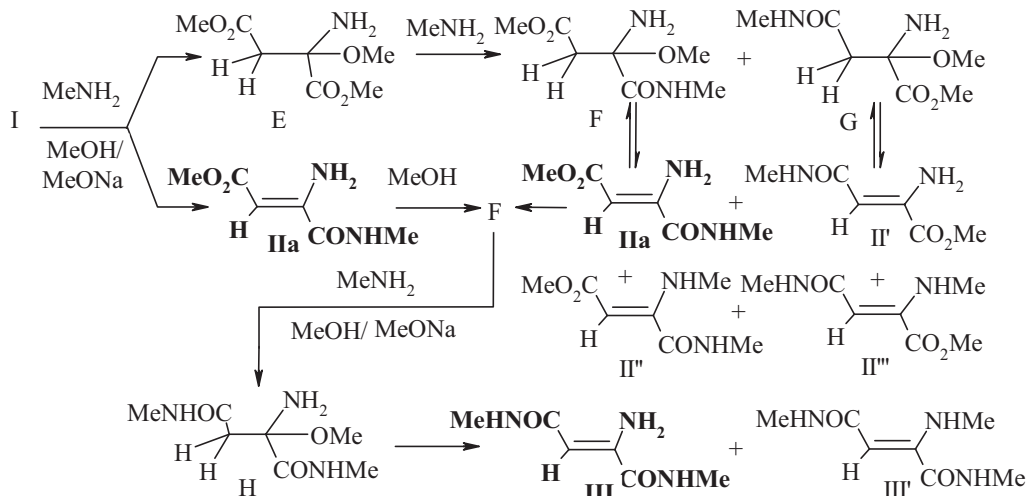


Схема 5

да, несущими функциональные группы, возникает закономерный вопрос — почему в реакции бисамидирования образуются исключительно диамиды аминофумаровой кислоты и не обнаруживаются изомерные диамиды аминомалеиновой кислоты.

Для ответа на этот вопрос рассмотрим конформеры диамида 2-амино-2-метоксиантарной кислоты H1—H3 (табл. 3) с точки зрения конформационного анализа, т.е. влияния конформаций на образование продуктов реакции.

Относительное содержание конформеров H1—H3 можно качественно оценить на основании их внутренних энергий, зависящих прежде всего от конформационных внутренних энергий заместителей (ΔE^0 , кДж/моль) и энергий возможных внутримолекулярных водородных связей (BBC). Во всех конформерах гем-метоксиамина H наблюдаются по два скошенных взаимодействия объемных заместителей; при этом энергии ΔE^0 заместителей уменьшаются в ряду $\text{CONH}_2(5,37) > \text{NH}_2(4,83) > \text{OMe}(\approx \text{OH}, 3,07)$ [13]. Минимальные скошенные взаимодействия CONH_2-OMe и $\text{CONH}_2-\text{NH}_2$ наблюдаются в конформере H1, поскольку амидная группа располагается между группами с наименьшим и средним эффективными объемами заместителей ($\Sigma \Delta E^0 7,9$ кДж/моль), несколько большие — в конформере H2 ($\Sigma \Delta E^0 8,44$ кДж/моль) и максимальные — в конформере H3 — ($\Sigma \Delta E^0 10,2$ кДж/моль). Кроме того, в конформерах H1 и H3 реализуется BBC $\text{NH}-\text{O}=\text{C}$, приводящая к их дополнительной стабилизации. Следовательно, в конформационном равновесии должен преобладать конформер H1. Этот вывод подтверждается данными расчетов внутренних энергий конформеров (табл. 3), по которым конформер H1 на 5,8 кДж/моль стабильнее конформеров H2 и H3 и его равновесное содержание составляет ~84%. Тогда, если даже скорость отщепления метано-

ла для всех конформеров одинакова, содержание диамида аминофумаровой кислоты За в продуктах реакции должно быть не менее 84%.

Кроме того, известно, что влияние конформаций на реакционную способность соединений подчиняется принципу Кётина-Гамметта [13]. В нашем случае, соотношение продуктов реакции — диамидов аминофумаровой или аминомалеиновой кислот — определяется соотношением энергий переходных состояний (ПС) образования конформеров, находящихся в состоянии динамического равновесия. Предполагая, что энергии активации образования продуктов реакции больше энергий активации взаимных превращений конформеров, а ПС структурно подобны соответствующим конформерам, можно считать, что и энергии ПС симбатны внутренним энергиям конформеров. Тогда ПС образования диамида аминофумаровой кислоты должно иметь меньшую внутреннюю энергию, чем ПС образования диамида аминомалеиновой кислоты, поскольку не содержит сближенных (заслоненных) наиболее объемных амидных групп. Соответственно, скорость образования диамида аминофумаровой кислоты должна быть больше скорости образования диамида аминомалеиновой кислоты.

Таким образом, исключительное образование производных аминофумаровой кислоты из промежуточного гем-метоксиамина H объясняется совместным влиянием статистического (преобладающего содержания в равновесии конформера H1) и кинетического (большей скорости отщепления метанола для конформера H1) факторов.

Промежуточное образование гем-метоксиаминов F и H хорошо согласуется с экспериментальными данными и объясняет закономерности амидирования амидов Z-2-амино-3-алкоксикарбонилакриловой кислоты в условиях ос-

новного катализа (MeOH/MeONa). Невозможность бис-амидирования аминофумаратов при отсутствии MeONa отрицает образование (по крайней мере в достаточном количестве) соответствующих *гем*-метоксиаминов, а, следовательно, и метилат-анионов. Инертность N,N -диметиламиномалеата в условиях основного катализа обусловлена невозможностью промежуточного образования эфира 2-(N,N -диметиламино)-2-метоксиянтарной кислоты из-за экранирования α -атома углерода объемными Me_2N^- и MeO_2C -группами

Экспериментальная часть

***N*-Метиламид Z-2-амино-3-метоксикарбонилакриловой кислоты (IIa)**

К раствору 2,5 г (15,7 ммоль) аминофумарата I в 5 мл абсолютного MeOH добавляют раствор 0,5 г (16,1 ммоль) метиламина в 5 мл абсолютного MeOH , выдерживают 1 сут. при 5°C. Растворитель упаривают в вакууме, остаток кристаллизуют из смеси эфир–гексан ~1:2. Получают 1,9 г (77%) соединения IIa.

Аналогично получают соединение IIc, получают 1,9 г (64%) соединения IIc.

Benzilamid Z-2-амино-3-метоксикарбонилакриловой кислоты (IIb)

К раствору 2,81 г (17,7 ммоль) аминофумарата I в 5 мл абсолютного MeOH добавляют 4,00 г (37,3 ммоль, 4,1 мл) бензиламина, выдерживают 3 сут. при 5°C. Растворитель удаляют в вакууме, остаток растворяют в 60 мл C_6H_6 . Через полученный раствор пропускают ток CO_2 до прекращения образования осадка карбоната бензиламина. Осадок фильтруют, промывают C_6H_6 , фильтрат упаривают в вакууме. Остаток кристаллизуют из смеси эфир–гексан ~1:2. Получают 3,03 г (73%) соединения IIb.

При проведении реакции в абсолютном MeOH , эфире или C_6H_6 в течение 21 суток или при кипячении в течение 9 ч выход бензиламида IIb составляет 60–75%. В аналогичных условиях из аминофумарата I и бензиламина в абсолютном MeOH получают бензиламид IIb (67–74%).

2-Фенилэтиламид Z-2-амино-3-метоксикарбонилакриловой кислоты (IIc)

К 1,00 г (6,3 ммоль) аминофумарата I в 5 мл абсолютного MeOH добавляют раствор 1,60 г (13,2 ммоль, 1,7 мл) 2-фенилэтиламина в 5 мл абсолютного MeOH , содержащего 51,3 мг (0,95 ммоль) MeONa , выдерживают 10 ч при 20°C, добавляют 54 мг (1 ммоль) NH_4Cl , растворитель удаляют в вакууме. Остаток экстрагируют хлороформом (2×25 мл), объединенные экстракты охлаждают до 5°C, промывают холодной водой (3×15 мл). Промытый раствор сушат Na_2SO_4 , соль отфильтровывают, фильтрат упаривают в вакууме. Остаток кристаллизуют из MeOH . Получают 1,08 г (69%) соединения IIc.

Бисметиламид аминофумаровой кислоты (IIIa)

Пример 1. К раствору 2,00 г (12,6 ммоль) аминофумарата I в 10 мл абсолютного MeOH добавляют 2,90 г (37,8 ммоль) 40%-го раствора метиламина в MeOH и 5 мл абсолютного MeOH , содержащего 0,15 г (2,8 ммоль) MeONa , выдерживают 2 сут при 20°C. Растворитель удаляют в вакууме, остаток кристаллизуют из смеси 2-пропанол–эфир 1:2. Получают 1,35 г (68%) соединения IIIa.

Пример 2. К раствору 1,35 г (7,8 ммоль) метиламида IIa в 5 мл абсолютного MeOH добавляют 0,78 г (10 ммоль) 40%-ного раствора метиламина в абсолютном MeOH и 3 мл абсолютного MeOH , содержащего 54 мг (1 ммоль) MeONa , выдерживают 2 сут при 20°C. Далее – по примеру 1. Получают 0,96 г (78%) соединения IIIa.

Bisbenzilamid аминофумаровой кислоты (IIIb)

Пример 1. К раствору 2,00 г (12,6 ммоль) аминофумарата I в 5 мл абсолютного MeOH добавляют раствор 2,84 г (26,5 ммоль, 2,9 мл) бензиламина в 5 мл абсолютного MeOH , содержащего 0,15 г (2,8 ммоль) MeONa , выдерживают 2 сут. при 20°C. Осадок отфильтровывают, промывают абсолютным MeOH , кристаллизуют из MeOH . Получают 2,85 г (73%) соединения IIIb.

Пример 2. К раствору 1,50 г (6,4 ммоль) бензиламида IIb в 5 мл абсолютного MeOH добавляют раствор 0,75 г (7,0 ммоль, 0,76 мл) бензиламина в 5 мл абсолютного MeOH , содержащего 0,10 г (1,9 ммоль) MeONa , выдерживают 2 сут при 20°C. Далее – по примеру 1. Получают 1,37 г (69%) соединения IIIb.

Bisfenylethylamid аминофумаровой кислоты (IIIc)

Пример 1. К раствору 2,00 г (12,6 ммоль) аминофумарата I в 5 мл абсолютного MeOH добавляют раствор 3,21 г (26,5 ммоль, 3,3 мл) фенилэтиламина в 5 мл абсолютного MeOH , содержащего 0,15 г (2,8 ммоль) MeONa , выдерживают 2 сут при 20°C. Осадок отфильтровывают, промывают абсолютным MeOH , кристаллизуют из MeOH . Получают 2,85 г (73%) соединения IIIc.

Пример 2. К раствору 1,50 г (6,4 ммоль) бензиламида IIc в 5 мл абсолютного MeOH добавляют раствор 0,85 г (7,0 ммоль, 0,88 мл) фенилэтиламина в 5 мл абсолютного MeOH , содержащего 0,10 г (1,9 ммоль) MeONa , выдерживают 2 сут. при 20°C. Далее – по примеру 1. Получают 1,37 г (69%) соединения IIIc.

Выходы

Обсуждены возможные механизмы амидирования эфиров аминофумаровой и Z-2-амино-3-карбоксиакриловой кислот по дезактивирован-

ной β -сложноЕирной группе в условиях основного катализа (абсолютный метанол/метилат натрия) путем генерации алкиламид-анионов или промежуточного образования эфиров иминоянтарной, 2-амино-2-метиламиноянтарной и 2-амино-2-метокси янтарной кислот.

На основании анализа экспериментальных и расчетных данных предложен механизм амидирования амидов Z-2-амино-3-метоксикарбонилакриловой кислоты через промежуточное образование амидов 2-амино-2-метокси-3-метоксикарбонилпропионовой кислоты. Исключительное образование из гем-метоксиаминов диамидов аминофумаровой кислоты объяснено совместным влиянием статистического и кинетического факторов.

Инертность N,N-диметиламиномалеата, вероятно, обусловлена невозможностью промежуточного образования эфира 2-(N,N-диметиламино)-2-метокси янтарной кислоты из-за экранирования α -атома углерода объемными Me_2N - и MeO_2C -группами.

СПИСОК ЛИТЕРАТУРЫ

1. Прояник А.В., Чепышев С.В., Лебедь О.С. 3-аминопиррол-2,5-дионы. 8. Реакции аминов с производными 1,2-этилендикарбоновых кислот // Вопр. химии и хим. технологии. – 2012. – № 5. – С.25-36.
2. 3-Аминопиррол-2,5-дионы. 9. Синтез 1,4-диалкил-3-аминопиррол-2,5-дионов / Лебедь О.С., Чепышев С.В., Панасюк Н.В., Прояник А.В. // Вопр. химии и хим. технологии. – 2012. – № 5. – С.12-21
3. Weinhold F. Natural Bond Orbital Analysis Programs. NBO 5.0 Program Manual. – Theoretical Chemistry Institute and Department of Chemistry, University of Wisconsin, Madison, Wisconsin 53706. – 1996-2001. Доступный из: <www.chem.wisc.edu/~nbo5>.
4. De Feo R.J., Strickler P.D. An Improved Method of Synthesis of Secondary Amides from Carboxylic Esters // J. Org. Chem. – 1963. – Vol.28. – № 10. – P.2915-2917.
5. Гордон А., Форд Р. Спутник химика: пер. с англ. – М.: изд-во Мир, 1976. – 541 с.
6. Зимон А.Д. Физическая химия. – М.: АГАР, 2003. – 320 с.
7. ACD/pKa DB: ChemSketch Version: 4.5/ 2014. Доступный з: <www.acdlabs.com/products/percepta/predictors/pka>
8. (Арилимино)малоновые эфиры / Марков В.И., Прояник А.В., Федосенко Д.В. и др. // Журн. орг. химии. – 1984. – Т.ХХ. – Вып.11. – С.2424-2431.
9. Chemistry of 1,4-Diamino-1,3-butadienes. III. Transamination with Secondary Amines / Fegley M.F., Bortnick N.M., McKeever C.H., Farnum F.B. // J. Am. Chem. Soc. – 1957. – Vol.79. – № 17. – P.4734-4736.
10. Замещение аминогруппы в производных аминофумаровой кислоты N-нуклеофилами / С.В. Чепышев, Ю.Н. Чепышева, И.В. Чорный, А.В. Прояник // Укр. хим. журн. – 2008. – Т.74. – № 6. – С.120-125.

11. 3-Аминопиррол-2,5-дионы. 6. Взаимодействие 1-алкил-3-аминопиррол-2,5-дионов с аминами / О.С. Лебедь, Н.В. Куцик, Н.С. Третьяков, С.В. Чепышев, А.В. Прояник // Вопр. химии и хим. технологии. – 2011. – № 1. – С.9-14.

12. Arai A., Kado M., Chiyomaru I. Esters obtained from Acetylenedicarboxylic Acid with Methanol in the Presence of Sulfuric Acid and their Amidation Products // Yuki Gosei Kagaku Kyokai Shi. – 1965. – Vol.23. – № 5. – P.435-442.

13. Конформационный анализ: пер. с англ. / Илиел Э., Аллинджер Н., Энжиал С., Моррисон Г. – М.: изд-во. Мир, 1969. – 592 с.

Поступила в редакцию 24.02.2017

QUANTUM-CHEMICAL STUDY OF AMIDATION OF 1-AMINOETHYLENE-1,2-DICARBOXYLIC ACID

O.S. Lebed, N.V. Panasiuk, N.V. Kutsik-Savchenko, A.V. Prosyanyk
Ukrainian State University of Chemical Technology, Dnipro,
Ukraine

The reaction path of the interaction between aminoethylene-1,2-dicarboxylic acid derivatives and amines critically depends on the structure of the enamines and the reaction conditions. Thus, aminofumarate forms amides of Z-2-amino-3-methoxycarbonylacrylic acid in absolute methanol; diamides of aminofumaric acid are formed in the presence of MeONa . N-alkylaminofumarates and N-tret-butylaminomaleate give 1,3-dialkylaminopyrrole-2,5-diones regardless of the reaction conditions, whereas N,N-dialkylaminomaleates are inert in these reactions. Amides of Z-2-amino-3-methoxycarbonylacrylic acid in absolute MeOH in the presence of MeONa generate diamides, whereas they form 1,3-dialkylaminopyrrole-2,5-diones in aqueous MeOH. In order to explain the experimental patterns, the quantum-chemical study of amidation reactions was performed in the PBE/def2-TZVPP approximation with the analysis of the wave functions obtained within the framework of NBO. Amidation of the deactivated α -ester group can be achieved theoretically as a result of increasing the energy of the unshared electron pair (NEP) of the nucleophile resulted from deprotonation and/or a decrease in energy of the antibonding molecular orbital $\pi_{\beta-\text{C}=\text{O}}^*$ by removing conjugate with the amino group. Possible mechanisms of the amidation of Z-2-amino-3-carboxyacrylic acid esters are discussed under the conditions of basic catalysis by the generation of alkyl amide anions or intermediate formation of ethers of iminosuccinic, 2-amino-2-methylaminosuccinic and 2-amino-2-methoxysuccinic acids. Based on the analysis of the experimental and calculated data, the mechanism of the amidation of amides of Z-2-amino-3-methoxycarbonylacrylic acid has been developed which takes into consideration the formation of the intermediate amides of 2-amino-2-methoxy-3-methoxycarbonylpropionic acid. The exclusive formation from hem-methoxyamines of aminofumaric acid is explained by the combined effect of statistical and kinetic factors. The inertness of N,N-dimethylaminomaleate is probably due to the inability of the formation of intermediate, 2- (N,N-dimethylamino)-2-methoxysuccinic acid ester, due to the shielding the α -carbon atom by bulk Me_2N - and MeO_2C -groups.

Keywords: aminofumarat; amidation; gem-diamine; gem-methoxyamine; imines; diamides Z-2-amino-3-methoxycarbonilacrylic acid.

REFERENCES

1. Прояник А.В., Чепышев С.В., Лебедь О.С. 3-аминопиррол-2,5-дионы. 8. Реакции с аминами производных 1,2-этилендикарбоновой кислоты // Вопр. химии и хим. технологии. – 2012, vol. 5, pp. 25-36.
2. Lebed O.S., Chepyishev S.V., Panasiuk N.V., Prosyanyk A.V. 3-аминопиррол-2,5-дионы. 9. Synthesis of 1,4-dialkyl-3-

aminopyrrole-2,5-dions. *Voprosy khimii i khimicheskoi tekhnologii*, 2012, vol. 5, pp. 12-21.

3. Weinhold F., *Natural bond orbital analysis programs. NBO 5.0 program manual*. University of Wisconsin, Madison, 1996-2001. Available at: <http://www.chem.wisc.edu/~nbo5>.

4. De Feo R.J., Strickler P.D. An improved method of synthesis of secondary amides from carboxylic esters. *Journal of Organic Chemistry*, 1963, vol. 28, no. 10, pp. 2915-2917.

5. Gordon A., Ford R., *Sputnik Khimika [Guide to Chemistry]*. Mir, Moscow, 1976. 541 p.

6. Zymon A.D., *Physical Chemistry*, Agar Publishers, Moscow, 2003. 320 p.

7. Electronic resource, *ACD/pKa DB: ChemSketch Version: 4.5/2014*. Available at: <http://www.acdlabs.com/products/percepta/predictors/pka>.

8. Markov V.I., Prosyanyk A.V., Fedoseenko D.V. (Arylimino) malonic esters. *Zhurnal Organicheskoi Khimii*, 1984, vol. 20, no. 11, pp. 2424-2431.

9. Fegley M.F., Bortnick N.M., McKeever C.H., Farnum F.B. Chemistry of 1,4-diamino-1,3-butadienes. III. Transamination with secondary amines. *Journal of the American Chemical Society*, 1957, vol. 79, no. 17, pp. 4734-4736.

10. Chepyishev S.V., Chepyisheva J.N., Cherniy I.V., Prosyanyk A.V. Substitution derivatives aminofumaric acid in N-nucleophiles. *Ukrainskii Khimicheskii Zhurnal*, 2008, vol. 74, no. 6, pp. 120-125.

11. Lebed O.S., Kutsik N.V., Tretyakov N.S., Chepyishev S.V., Prosyanyk A.V. Aminopyrrole-2,5-diones. 6. The reaction of 1-alkyl-3-3-aminopyrrolo-2,5-diones with amine. *Voprosy khimii i khimicheskoi tekhnologii*, 2011, vol. 1, pp. 9-14.

12. Arai A., Kado M., Chiyomaru I. Esters obtained from acetylenedicarboxylic acid with methanol in the presence of sulfuric acid and their amidation products. *Yuki Gosei Kagaku Kyo-kaishi*, 1965, vol. 23, no. 5, pp. 435-442.

13. Ylyel E., Allynzher N., Enzhial S., Morrison H., *Conformational analysis*. Mir, Moscow, 1969. 592 p.